

#### Научно-исследовательское учреждение «ИНСТИТУТ ПРИКЛАДНЫХ ФИЗИЧЕСКИХ ПРОБЛЕМ ИМЕНИ А.Н.СЕВЧЕНКО»

Белорусского государственного университета

# Прикладные проблемы оптики, информатики, радиофизики и физики конденсированного состояния

Материалы седьмой Международной научно-практической конференции



Минск, 18-19 мая 2023 г.

#### Министерство образования Республики Беларусь

## Научно-исследовательское учреждение «ИНСТИТУТ ПРИКЛАДНЫХ ФИЗИЧЕСКИХ ПРОБЛЕМ ИМЕНИ А.Н.СЕВЧЕНКО»

Белорусского государственного университета

Посвящается 120-летию со дня рождения академика Антона Никифоровича Севченко

# Прикладные проблемы оптики, информатики, радиофизики и физики конденсированного состояния

# Материалы седьмой Международной научно-практической конференции

18 – 19 мая 2023 года

Минск, 2023

Редакционная коллегия: Ю.И. Дудчик (гл. ред.), И.М. Цикман, И.Н. Кольчевская

Прикладные проблемы оптики, информатики, радиофизики и физики конденсированного состояния: материалы седьмой Междунар. науч.-практ. конф. 18-19 мая 2023 г., Минск, М-во образования Респ. Беларусь, НИУ «Ин-т приклад. физ. проблем им. А.Н.Севченко Беларус. гос. ун-та; редкол.: Ю.И. Дудчик (гл. ред.), И.М. Цикман, И.Н. Кольчевская. – Минск: 2023-476 с.

Сборник содержит материалы VII Международной научно-практической конференции по следующим научным направлениям: прикладные проблемы оптики и спектроскопии; прикладные проблемы информатики; прикладные проблемы радиофизики; прикладные проблемы физики конденсированного состояния; аэрокосмические технологии и технологии ДЗЗ.

УДК 53.06(082) ББК 22.3я43 <u>Горбачук Н. И.  $^1$ , Поклонский Н. А.  $^1$ , Ермакова Е. А.  $^1$ , Шпаковский С. В.  $^2$ , Ломако В. М.  $^3$ </u>

### **DLTS-СПЕКТРОСКОПИЯ РАДИАЦИОННЫХ ДЕФЕКТОВ В ОБЛУЧЕННЫХ ИОНАМИ ГЕЛИЯ СТРУКТУРАХ Al/Si<sub>3</sub>N<sub>4</sub>/***n***-Si**

<sup>1</sup>Белорусский государственный университет, Минск, Республика Беларусь <sup>2</sup>ОАО "Интеграл" управляющая компания холдинга "Интеграл", Минск, Беларусь <sup>3</sup>НП ООО "ОМНИТЕЛ", Минск, Беларусь

Исследовались структуры  $Al/Si_3N_4/n$ -Si, облученные ионами гелия флюенсом  $10^{11}$  см $^{-2}$  (кинетическая энергия иона 5 MэB). Регистрировались спектры DLTS, т.е. зависимости емкости от температуры, а также изотермические вольт-фарадные характеристики. Установлено, что варьирование электрического напряжения заполнения и напряжения эмиссии позволяет независимо регистрировать сигналы DLTS как от центров, локализованных на границе раздела  $Si_3N_4/n$ -Si, так и от радиационных дефектов в глубине кремния. Показано, что облучение ионами гелия приводит как к генерации дивакансий и комплексов вакансия-кислород и вакансия-фосфор, так и к увеличению концентрации дефектов на границе раздела.

**Введение.** Методика DLTS-спектроскопии является одной из базовых методик для диагностики радиационных повреждений в материалах и структурах полупроводниковой электроники [1]. Для ее реализации необходим энергетический барьер и области пространственного заряда в полупроводнике. Релаксация барьерной емкости после импульсов напряжения экстракции (инжекции) носителей заряда при различных температурах позволяет построить так называемый DLTS-спектр. Из-за вхождения МДП-структур в режим инверсии и влияния поверхностных состояний DLTS-спектроскопия для их исследования применяется ограниченно [2, 3].

Цель работы — оценить возможности использования DLTS-спектроскопии для исследования радиационных дефектов в структурах  $Al/Si_3N_4/n$ -Si, облученных ионами гелия.

**Методика эксперимента.** Структуры Al/Si<sub>3</sub>N<sub>4</sub>/n-Si изготавливались на пластинах (100) монокристаллического кремния n-типа проводимости, выращенного методом Чохральского. Удельное сопротивление кремния — 4,5 Ом $\cdot$ см. Толщина пластин — 380 мкм. Слой нитрида кремния (Si<sub>3</sub>N<sub>4</sub>) толщиной d=70 нм формировался методом химического осаждения из газовой фазы, содержащей смесь аммиака (NH<sub>3</sub>) и моносилана (SiH<sub>4</sub>), при пониженном давлении. Контакты к планарной и непланарной (тыловой) стороне формировались термическим напылением алюминия с последующей термообработкой при температуре 400 °C в атмосфере азота. Толщина слоя алюминия — 0,7 мкм. Площадь алюминиевой металлизации на планарной стороне МДП-структур — 1,85×1,85 мм². Пластины кремния разделялись на чипы площадью 2,5×2,5 мм².

Со стороны Al/Si<sub>3</sub>N<sub>4</sub> структуры облучались ионами гелия (энергия 5 МэВ, средний проективный пробег, рассчитанный по программе SRIM  $\approx$  24 мкм). Облучение проводилось при комнатной температуре на ускорителе Рурского университета (г. Бохум, Германия). Флюенс облучения —  $10^{11}$  см<sup>-2</sup>.

Спектры DLTS регистрировались с помощью емкостного спектрометра CE-7C в диапазоне температур 80–300 К. Значения напряжения импульса заполнения  $U_p$  и импульса эмиссии  $U_e$  выбирались, исходя из необходимости зарегистрировать спектры центров, расположенных вблизи границы раздела  $Si_3N_4/n$ -Si, или в глубине n-Si. В первом случае величина  $U_p$  выбиралось в окрестности напряжения плоских зон, а  $U_e$  — в интервале от  $U_p$  до  $U_p$  до  $U_p$  выбирались в интервале от  $U_p$  до  $U_p$  до  $U_p$  и  $U_p$  выбирались в интервале от  $U_p$  до  $U_p$  до  $U_p$  выбирались в интервале от  $U_p$  до  $U_p$  до  $U_p$  выбирались в интервале от  $U_p$  до  $U_p$  до  $U_p$  выбирались в интервале от  $U_p$  до  $U_p$  до  $U_p$  до  $U_p$  выбирались в интервале от  $U_p$  до  $U_p$  до  $U_p$  до  $U_p$  до  $U_p$  выбирались в интервале от  $U_p$  до  $U_p$  до  $U_p$  до  $U_p$  выбирались в интервале от  $U_p$  до  $U_p$  до  $U_p$  до  $U_p$  выбирались в интервале от  $U_p$  до  $U_p$  до U

$$S = \left[\Delta C(t_2) - \Delta C(t_1)\right]/C_0,\tag{1}$$

где  $\Delta C(t)$  — изменение нестационарного значения барьерной емкости, регистрируемое в течение импульса эмиссии (на частоте измерительного сигнала 1 МГц);  $t_1$  и  $t_2$  — некоторые моменты времени, причем  $t_1 < t_2 < t_e$ ;  $C_0$  — стационарное значение высокочастотной емкости при текущей температуре [1, 4].

Вольт-фарадные характеристики C(U) регистрировались в интервале от -40 до 0 В с шагом 0,1 В при температурах 80–300 К на измерителях LCR Agilent 4284A, E4980A и емкостном спектрометре CE-7C. Все измерения выполнялись в темноте.

**Результаты и их обсуждение.** На рисунке 1 представлены зависимости емкости от температуры, зарегистрированные при напряжениях  $U_{\rm e}$ . Рост емкости в окрестности 260 К для исходной и 245 К для облученной структур связан с переходом в процессе измерения в режим инверсии. В интервалах температур 80–260 К (для исходной структуры) и 80–245 К (для облученной) особенностей на зависимостях C(T), обусловленных формированием инверсного слоя, нет. В указанных интервалах температур структуры, как видно на вставках, находятся в режиме глубокого обеднения. Это позволяет провести регистрацию спектров DLTS при напряжениях  $U_{\rm e}$ , соответствующих при комнатной температуре режиму инверсии.

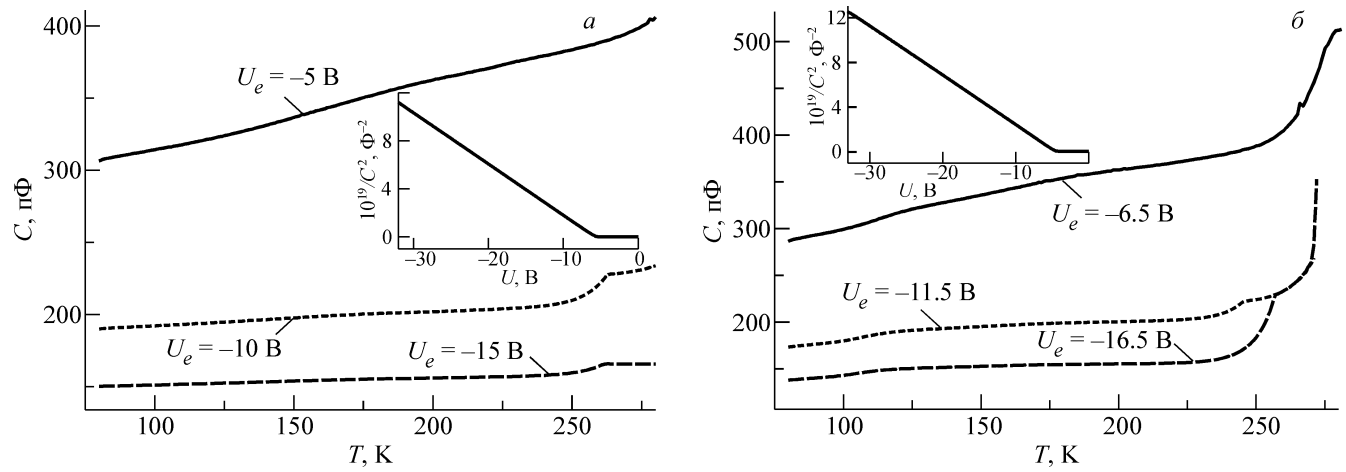


Рисунок 1 — Зависимости емкости C от температуры T для исходной (a) и облученной ионами гелия  $(\delta)$  структур. Значения напряжения, при которых измерены зависимости C(T), указаны на рисунке. На вставках — вольт-фарадные характеристики в координатах  $1/C^2$ , зарегистрированные при температуре жидкого азота

На рисунке 2 показаны спектры DLTS исходной и облученной структур. Спектры I соответствуют центрам, расположенным вблизи границы раздела  $\mathrm{Si}_3\mathrm{N}_4/n$ - $\mathrm{Si}$ . Для исходной структуры спектр имеет вид широкого бесструктурного сигнала «треугольной формы». Для облученной структуры наряду с увеличением амплитуды сигнала в области низких температур (<150 K) отчетливо наблюдается пик E1. Результаты согласуются с данными работы [5], в которой показано, что причиной появления широкого сигнала DLTS для исходных структур  $\mathrm{Al/Si}_3\mathrm{N}_4/n$ - $\mathrm{Si}$  является эмиссия электронов с поверхностных состояний (центров), уровни которых распределены в широком интервале энергий.

Спектры 2, 3 соответствуют центрам, расположенным в глубине n-Si. Широкий сигнал на них отсутствует. Пики E1-E3 сигналов DLTS наблюдаются лишь на спектрах облученных структур (рис. 26). Пики связаны с эмиссией электронов с глубоких уровней радиационных дефектов. На основании зависимостей Аррениуса рассчитаны значения энергии термической ионизации. Пику E1 соответствует уровень  $E_c = 0.17 \pm 0.02$  эВ, пику E2 —  $E_c = 0.22 \pm 0.02$  эВ, пику E3 —  $E_c = 0.46 \pm 0.04$  эВ. Энергии активации, характерные для пиков E1 и E2, достаточно близки [6] к энергиям А-центра (комплекса вакансия-кислород) и дивакансии в зарядовом состоянии (=/-). Пик E3 возможно соответствует неразрешенному сигналу от дивакансий в зарядовом состоянии (-/0) и от комплекса вакансия-фосфор [7]. Эффективная энергия ионизации, полученная для пика  $E_x$  равна  $E_c = 0.35 \pm 0.06$  эВ.

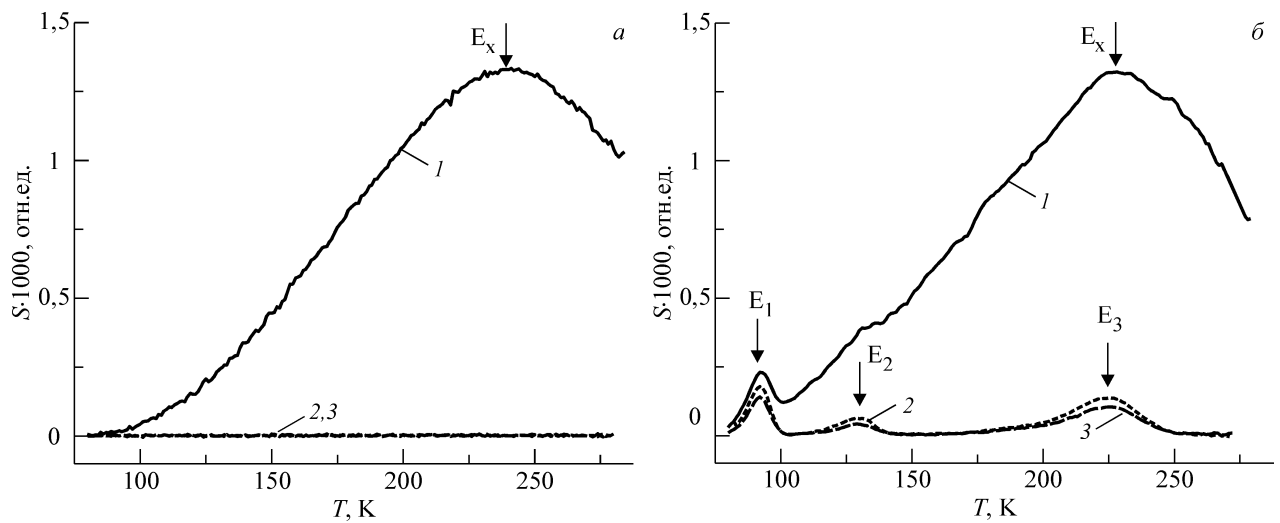


Рисунок 2 — Спектры DLTS исходных (a) и облученных ионами гелия ( $\delta$ ) структур. Условия регистрации на рис. a:  $I — U_p = -2.4$  B,  $U_e = -5$  B;  $2 — U_p = -5$  B,  $U_e = -10$  B;  $3 — U_p = -10$  B,  $U_e = -15$  B. Условия регистрации на рис.  $\delta$ :  $I — U_p = -3.8$  B,  $U_e = -6.5$  B;  $2 — U_p = -6.5$  B,  $U_e = -11.5$  B;  $3 — U_p = -11.5$  B,  $U_e = -16.5$  B

**Заключение.** Установлено, что варьирование напряжения заполнения и напряжения эмиссии позволяет независимо регистрировать сигналы DLTS от центров, локализованных на границе раздела  $Si_3N_4/n$ -Si, и от радиационных дефектов в глубине кремния. Показано, что облучение ионами гелия приводит как к генерации дивакансий и комплексов вакансия-кислород и вакансия-фосфор, так и к росту концентрации дефектов на границе раздела.

**Благодарности.** Работа выполнена при поддержке ГПНИ «Материаловедение, новые материалы и технологии».

#### Список литературы

- 1. Вавилов В. С., Кекелидзе Н. П., Смирнов Л. С. Действие излучений на полупроводники. М.: Наука, 1988.-192 с.
- 2. Deep level transient spectroscopy study of defects at  $Si/SiO_2$  and  $Si/Si_3N_4$  interfaces / B. C. Johnson, H. U. Rahman, E. Gauja, R. Ramer, J. C. McCallum // ICONN 2010 Int. Conf. on Nanosci. and Nanotechnol., 22-26 February 2010, Sydney, Australia. IEEE, 2010. P. 333–336.
- 3. A deep-level transient spectroscopy study of silicon interface states using different silicon nitride surface passivation schemes / C. Gong, E. Simoen, N. Posthuma, E. Van Kerschaver, J. Poortmans, R. Mertens // Appl. Phys. Lett. -2010. Vol. 96, No. 10. P. 103507 (1-3).
- 4. Цифровой емкостный спектрометр СЕ-6 / Н. Н. Дедович, В. А. Кузьминых, А. Н. Лазарчик, В. М. Ломако, В. И. Пранович, А. Ф. Романов // Материалы и структуры современной электроники: сб. науч. тр. III Междунар. науч. конф., Минск, 25-26 сент. 2008 г. / редкол.: В.Б. Оджаев (отв. ред.) [и др.]. Мн.: БГУ, 2008. С. 16-19.
- 5. Нестационарная спектроскопия глубоких уровней структур Al/Si<sub>3</sub>N<sub>4</sub>/*n*-Si / H. И. Горбачук, Н. А. Поклонский, Е. А. Ермакова, С. В. Шпаковский // КРЕМНИЙ 2022: Тез. докл. XIV Междунар. конф., Новосибирск, 26-30 сент. 2022 г. М.: Изд. «Перо», 2022. С. 135.
- 6. P. Hazdra, V. Komarnitskyy. Influence of radiation defects on formation of thermal donors in silicon irradiated with high-energy helium ions // Mater. Sci. Eng. B. -2009. Vol. 159–160. P. 346–349.
- 7. V. P. Markevich, O. Andersen, I. F. Medvedeva, J. H. Evans-Freeman, I. D. Hawkins, L. I. Murin, L. Dobaczewski, A. R. Peaker. Defect reactions associated with the dissociation of the phosphorus–vacancy pair in silicon // Physica B. 2001. Vol. 308–310. P. 513–516.